

【大学物理（2）：量子物理复习（Chapter 17）】

Galaxies

1. **黑体辐射和普朗克的量子假设** 任何物体在任何情况下都能进行热辐射（热辐射和光辐射都是一定范围内的电磁波），各种物体的差别是热辐射的能量大小和能量按照波长的分布（能谱分布）不同，热辐射的能量的能谱是连续能谱，存在着一定的规律性。设温度为 T ，物体表面 dS ，在波长 λ 到 $\lambda + d\lambda$ 的范围内，辐射出能量为 $dE(T, \lambda)$ ，则称**单色辐出度**为

$$M(\lambda, T) = \frac{dE(T, \lambda)}{d\lambda dS}$$

其物理意义为单位时间内从物体单位面积上辐射出的波长在 λ 处单位波长范围内的能量。

考虑所有波长的辐射，则定义辐出度 $M(T)$ 为

$$M(T) = \int_0^{+\infty} M(\lambda, T) d\lambda$$

其物理意义为单位时间内从物体单位面积上辐射出的总能量。

物体在热辐射的同时，也从周围物体吸收辐射能，单位时间内辐射到物体单位面积上 λ 到 $\lambda + d\lambda$ 波长范围内的能量为 dE_λ ，被物体吸收的部分为 dE'_λ ，则定义单色吸收比

$$\alpha(\lambda, T) = \frac{dE'_\lambda}{dE_\lambda}$$

对于不同材料和不同物体，有基尔霍夫定律：

$$M(\lambda, T) = M_0(\lambda, T) \alpha(\lambda, T)$$

其中， $M_0(\lambda, T)$ 为普适函数，对于黑体 $\alpha(\lambda, T) = 1$ 。因此只需要找到黑体，确定出普适函数即可。

- **斯忒藩-玻尔兹曼定律**：黑体的辐出度与温度的四次方成正比

$$M_0(T) = \sigma T^4$$

其中， σ 为斯忒藩-玻尔兹曼常量， $\sigma = 5.6704 \times 10^{-8} \text{W} \cdot \text{m}^{-2} \cdot \text{K}^{-4}$ 。

- **维恩定律**：维恩根据热力学理论指出，黑体单色辐出度的最大值对应的波长 λ_m 与温度 T 成反比。

$$\lambda_m T = b$$

其中， b 为维恩常量， $b = 2.8978 \times 10^{-3} \text{m} \cdot \text{K}$ 。

- 维恩公式——红外灾难；瑞利-金斯公式——紫外灾难。普朗克结合了维恩公式和瑞利-金斯公式，在1900年的德国物理学会作报告时给出了普朗克公式，这也被称为量子力学的誕生日。

$$M_0(\lambda, T) = \frac{2\pi hc^2}{\lambda^5} \frac{1}{e^{\frac{hc}{\lambda kT}} - 1}$$

和实验曲线在全波段吻合！要推导出这个结果，必须用到一个假设：物体发射或吸收的电磁辐射能量是不连续的，只能以量子 $\varepsilon = h\nu$ 为单位。其中， ν 为电磁辐射的频率， $h = 6.6261 \times 10^{-34} \text{J} \cdot \text{s}$ 为普朗克常数。电磁辐射的能量只能是不连续的、分立的，取值为 ε 的整数倍，即 $E = n\varepsilon$ （ n 为正整数）。

2. 光的粒子性

- a) **光电效应**：用光照射阴极 K ，则会产生光电流，且光电流与外加电压的关系如下右图所示，其中 U_0 称为遏止电压，即光电子恰好不能到达阳极时所加的反向电压值，于是有

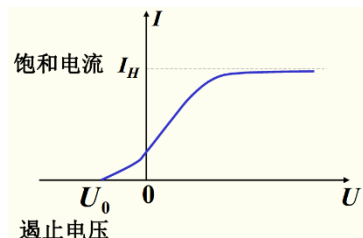
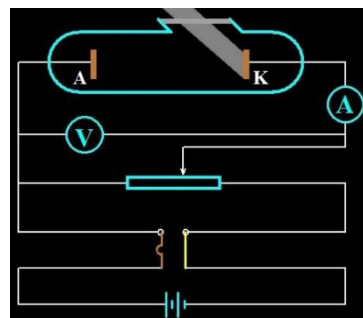
$$\frac{1}{2}mv_m^2 = eU_0$$

遏止电压的大小与入射光强度无关，即光电子最大初始动能与入射光强度无关！但是阴极逸出的光电子数与入射光强度成正比，从而饱和电流和光强有关。

遏止电压和入射光频率有关系， $U_0 = k\nu - U_i$ ，因此 $\nu_0 = \frac{U_i}{k}$ ， $U_0 = k\nu - k\nu_0$ ，

其中 $\nu \geq \nu_0$ 才会发生光电效应（最大初始动能 $\frac{1}{2}mv_m^2 = ek\nu - ek\nu_0 \geq 0$ ），

ν_0 被称为截止频率或频率的红限。



- 经典理论解释光电效应的困难：① 光电子的最大初始动能不随入射光强度增加而增大；② 存在频率的红限；③ 光电效应瞬时发生。
- 解释：光的能量量子假说（光子假说），爱因斯坦光电方程：

$$\frac{1}{2}mv_m^2 = h\nu - W_0$$

其中， W_0 为逸出功，于是 $\nu_0 = \frac{W_0}{h}$ 为红限， $k = \frac{h}{e}$ 。

b) **康普顿散射**。实验装置如右图所示，实验结果：

- 散射光中除了和原波长 λ 相同的谱线外，还有波长 $\lambda' > \lambda$ 的谱线；
- 波长该变量 $\lambda' - \lambda$ 随着散射角 θ 的增加而增加，且散射光中波长为 λ 的谱线强度随着 θ 的增加而减小，波长为 λ' 的谱线强度随着 θ 的增加而增大。
- 对于不同的散射物质，在同一个散射角下，波长该变量 $\lambda' - \lambda$ 都相同，与散射物质无关。
- 解释：光子和散射物质中的自由电子碰撞，有能量守恒和动量守恒：

$$h\nu + m_0c^2 = h\nu' + mc^2$$

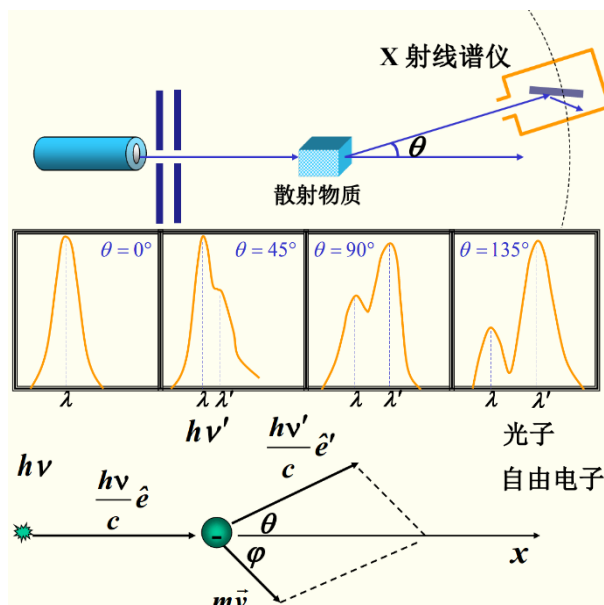
$$\frac{h\nu}{c}\hat{e} = \frac{h\nu'}{c}\hat{e}' + m\vec{v}$$

$$m = \frac{m_0}{\sqrt{1 - \frac{v^2}{c^2}}}$$

联立解得

$$\Delta\lambda = \lambda' - \lambda = \frac{c}{\nu'} - \frac{c}{\nu} = \frac{2h}{m_0c} \sin^2 \frac{\theta}{2} = 2\lambda_c \sin^2 \frac{\theta}{2}$$

其中，康普顿波长 $\lambda_c = \frac{h}{m_0c} = 2.43 \times 10^{-12}m$



3. 光的波粒二象性

- 波动性：光满足叠加原理，能产生干涉、衍射、偏振这些体现光波动性的现象；
- 粒子性：光子作为整体行为的不可分割性，光子只能作为单个整体被吸收或发射，交换光子的能量或动量只能以上式给出的单元进行。

4. 玻尔的氢原子理论

- 氢原子光谱：
 - 巴耳末系（巴耳末公式）

$$\tilde{\nu} = \frac{1}{\lambda} = \frac{4}{B} \left(\frac{1}{2^2} - \frac{1}{n^2} \right)$$

其中， $B = H_\infty = 364.56nm$ ；

- 里德伯公式

$$\tilde{\nu} = R_H \left(\frac{1}{m^2} - \frac{1}{n^2} \right) = T(m) - T(n) \quad (n > m)$$

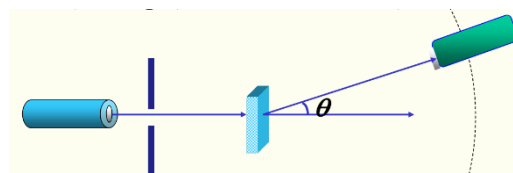
其中， $T(n) = \frac{R_H}{n^2}$ 称光谱项，里德伯常量 $R_H = \frac{4}{B} = 1.0968 \times 10^{-7}m^{-1}$ ；

谱线的波数可表示成两光谱项之差！

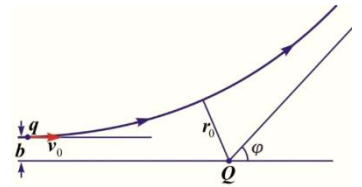
- 另外的，还有莱曼系 $m = 1$ ，帕邢系 $m = 3$ ，布拉开系 $m = 4$ ，普丰德系 $m = 5$ 。

- α 粒子散射实验**：用 α 例子轰击极薄的金属箔，出现了散射角大于 90° 的粒子。根据角动量守恒、机械能守恒可以推出

$$\cot \frac{\theta}{2} = \frac{1}{k} \frac{mv_0^2}{qQ} b$$



其中, b 为瞄准距离, 测得最大散射角 $b \approx 10^{-14}m$, 于是卢瑟福提出**原子核式结构模型**: 原子内部有一个带正电荷 Ze 原子核, 线度不超过 $10^{-15}m$, 却集中了大部分原子质量, 原子核外有 Z 个带负电 e 的电子, 在核库仑力的作用下沿一定轨道运动。



c) 玻尔的氢原子理论: 三个假定

- 定态假定** 电子绕核运动时原子既不辐射出能量也不吸收能量, 而是处于一定的能量状态 (定态)。原子的定态能量 不能连续取值, 只能取某些分立值 (能级)。
- 跃迁假定** 只有当原子从某一定态跃迁到另一定态时, 原子的能量才发生变化, 在此过程中原子辐射或吸收一个光子的能量, 即

$$h\nu = E_n - E_m$$

iii. **角动量的量子化** 氢原子容许的定态是电子绕核圆周运动的角动量满足

$$rm_e v = n \frac{h}{2\pi} = n\hbar \quad (n = 1, 2, 3, \dots)$$

- 由角动量的量子化可知道电子绕核运动半径的量子化

$$\frac{m_e v^2}{r} = \frac{e^2}{4\pi\epsilon_0 r^2} \Rightarrow r = \frac{e^2}{4\pi\epsilon_0 m_e v^2} = \frac{\epsilon_0 h^2 n^2}{\pi m_e e^2} = r_1 n^2 \quad (n = 1, 2, 3, \dots)$$

其中, $r_1 = \frac{\epsilon_0 h^2}{\pi m_e e^2} = 0.529 \times 10^{-10}m$ 玻尔半径; 于是电子轨道半径为 $r_1, 4r_1, 9r_1, \dots$ 。

- 同理, 能量也能量子化, 由于

$$E = \frac{1}{2} m_e v^2 - \frac{e^2}{4\pi\epsilon_0 r} = -\frac{m_e e^4}{8\epsilon_0 h^2 n^2} = \frac{E_1}{n^2} \quad (n = 1, 2, 3, \dots)$$

其中, $E_1 = -\frac{m_e e^4}{8\epsilon_0 h^2} = -13.6eV$; 于是电子轨道能量为 $E_1, \frac{E_1}{4}, \frac{E_1}{9}, \dots$, 分别称作基态、第一激发态、第二激发态……

- 从基态跃迁到第一激发态所需要的能量称为氢原子的**第一激发电势**, $E_2 - E_1 = 10.2eV$ 。
- 氢原子从基态激发到 E_∞ 时, 相当于电子从第一轨道跃迁到无穷远处, 脱离原子核的束缚, 称为**电离**。使

氢原子电离所需要的能量称电离能, 即 $E_\infty - E_1 = 13.6eV$, 于是由于 $h\nu = \frac{hc}{\lambda} = E_n - E_m$ 可得

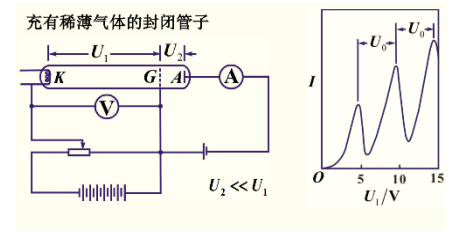
$$\tilde{\nu} = \frac{1}{\lambda} = R_H \left(\frac{1}{m^2} - \frac{1}{n^2} \right) = \frac{1}{hc} (E_n - E_m) = \frac{m_e e^4}{4\pi(4\pi\epsilon_0)^2 \hbar^3 c} \left(\frac{1}{m^2} - \frac{1}{n^2} \right)$$

计算出的 R_H 和实验测得非常接近!

- 弗兰克-赫兹实验** 证明了玻尔理论中的重要结论——原子中存在能量不连续的定态。电子只将固定的动能 eU_0 转移给原子!

5. **电子的波动性** 德布罗意波: 粒子的频率 ν 和波长 λ 和动量 p 的关系为:

$$\nu = \frac{E}{h} \quad \text{or} \quad \lambda = \frac{h}{p}$$



于是一个沿 x 轴正方向运动、能量为 E 、动量为 p 的自由粒子对应 x 轴正方向传播的**单色平面物质波**。由于

$$\omega = \frac{2\pi}{T} = 2\pi\nu = \frac{2\pi E}{h} = \frac{E}{\hbar}, \quad \vec{k} = \frac{2\pi}{\lambda} = \frac{2\pi}{h} \vec{p} = \frac{\vec{p}}{\hbar}$$

波函数:

$$\Psi = A \cos(\omega t - kx) = A \cos \frac{1}{\hbar} (Et - px) = A \cos(\omega t - \vec{k} \cdot \vec{r})$$

写成复数形式,

$$\Psi = A e^{\frac{i}{\hbar} (\vec{p} \cdot \vec{r} - Et)}$$

德布罗意把氢原子的定态和驻波联系在一起 (由于驻波具有稳定性), 于是氢原子轨道长度必须为波长整数倍。

$$2\pi r = k\lambda = k \frac{h}{p} = k \frac{h}{m_0 v} \Rightarrow rm_0 v = k\hbar \quad (k = 1, 2, 3, \dots)$$

和玻尔的假设相符。

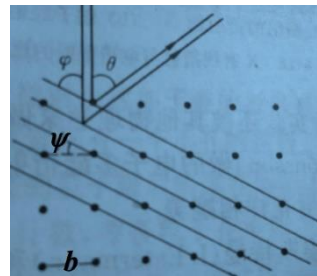
- **电子衍射实验（戴维孙-革末）** 设 d 为晶面间距离（斜线的相邻点距离）， φ 为掠射角，有布拉格公式

$$2d \sin \varphi = n\lambda$$

由几何关系， $\varphi + \psi = \frac{\pi}{2}$, $\varphi + \frac{\theta}{2} = \frac{\pi}{2}$, $b = d \sin \psi$ ，于是

$$\lambda = 2d \sin \varphi = 2b \sin \psi \cos \psi = b \sin 2\psi = b \sin \theta = 0.165 \text{ nm}$$

又 $\lambda = \frac{h}{p} = \frac{h}{\sqrt{2mK}} = \frac{h}{\sqrt{2meU}}$ ，测得加速电压 $U = 54 \text{ V}$ ，从而 $\lambda = 0.167 \text{ nm}$ ，二者吻合！



6. 【注】相对论能量关系：

$$E^2 = c^2 p^2 + m_0^2 c^4$$

7. 粒子具有波-粒二象性

- a) 粒子性：整体性、不可分割性，不是经典粒子，没有轨道概念。
- b) 波动性：可叠加性、干涉、衍射、具有频率和角波数，不是经典的波，不存在物理量的波动。

8. **波函数的统计解释** 物质波（德布罗意波）是一种概率波，其中 $\psi(\vec{r}, t)$ 为概率幅， $|\psi(\vec{r}, t)|^2 = \psi(\vec{r}, t)\psi^*(\vec{r}, t)$ 为概率密度，即在 t 时刻， \vec{r} 附近单位体积内找到粒子的概率， $|\psi(\vec{r}, t)|dV$ 为 t 时刻粒子出现在 dV 体积元内的概率。一维情况下， dV 用 dx 代替即可。

- 自由粒子的波函数 $\psi(\vec{r}, t) = A e^{\frac{i}{\hbar}(Et - \vec{p} \cdot \vec{r})}$, $|\psi(\vec{r}, t)|^2 = A^2$ 。

- 波函数的基本条件：①标准条件：单值、连续、有限；②归一化条件：

$$\int_{\Omega} |\psi(\vec{r}, t)|^2 dV = 1$$

9. **不确定关系** 微观粒子具有波动性， $p = \frac{h}{\lambda}$, $E = h\nu$ ，因此波长 λ 不可能是坐标的函数，即动量 p 不可能由 x 决定，不能同时确定粒子的坐标和动量，只能给出一个大概的确定范围。

海森堡不确定度关系（解题用这个关系）

$$\Delta x \Delta p_x \geq \hbar$$

海森堡不确定度关系（精确）

$$\Delta x \Delta p_x \geq \frac{\hbar}{2} = \frac{h}{4\pi}$$

其中， $\Delta x = \sqrt{\langle (x - \langle x \rangle)^2 \rangle}$, $\Delta p_x = \sqrt{\langle (p - \langle p \rangle)^2 \rangle}$

从而，如果粒子具有完全确定的动量，则它的空间位置就完全不确定。

【注】不确定度关系不是由实验误差引起的！

能级宽度和平均寿命的不确定度关系（解题用）设体系处于某能量状态的平均寿命为 Δt ，能级宽度 ΔE ，则

$$\Delta E \Delta t \geq \hbar$$

能级宽度和平均寿命的不确定度关系（精确）

$$\Delta E \Delta t \geq \frac{\hbar}{2}$$

因此，能级有一定的宽度，谱线也有一定的宽度，称为谱线的自然宽度。

- 用不确定度关系估算氢原子基态能量

$$E = \frac{p^2}{2m} + \frac{p^2}{2m} + \frac{(-e)2e}{4\pi\epsilon_0 r} + \frac{(-e)2e}{4\pi\epsilon_0 r} + \frac{e^2}{4\pi\epsilon_0 r_{ee}^2}$$

设两电子排斥，趋于远离，则 $r_{ee} \approx 2r$ ，从而

$$E(r, p) = 2 \left(\frac{p^2}{2m} - \frac{2e^2}{4\pi\epsilon_0 r} \right) + \frac{e^2}{4\pi\epsilon_0 (2r)}$$

电子平均动量为零，故 $\Delta p = p$ ，由不确定度关系 $\Delta p \Delta x \sim p \cdot r \sim \hbar$ ，因此

$$E(r, p) = 2 \left(\frac{\hbar^2}{2mr^2} - \frac{2e^2}{4\pi\epsilon_0 r} \right) + \frac{e^2}{4\pi\epsilon_0 (2r)} = E(r)$$

基态能量即 E_{min} ， $\frac{dE}{dr} = 0$ ，从而 $r = \frac{16\pi\epsilon_0 \hbar^2}{7me^2}$, $E = -\frac{49me^4}{16\hbar^2(4\pi\epsilon_0)^2} = -84 \text{ eV}$ 。

10. **薛定谔方程** 微观粒子的运动状态可以用波函数来描述。薛定谔提出了处于势场 V 中的非自由粒子的方程：

$$i\hbar \frac{\partial}{\partial t} \Psi(\vec{r}, t) = \left[-\frac{\hbar^2}{2m} \nabla^2 + V(\vec{r}, t) \right] \Psi(\vec{r}, t)$$

其中， $\nabla^2 = \left(\frac{\partial^2}{\partial x^2} + \frac{\partial^2}{\partial y^2} + \frac{\partial^2}{\partial z^2} \right)$ 为拉普拉斯算符。如果势能函数不含时间，则 $V(\vec{r}, t) = V(\vec{r})$ ，此时粒子处于定态，定态波函数写成

$$\Psi(\vec{r}, t) = \psi(\vec{r}) e^{-\frac{iE}{\hbar}t}$$

则 $|\Psi(\vec{r}, t)|^2 = |\psi(\vec{r})|^2$ ，于是

$$\left[-\frac{\hbar^2}{2m} \nabla^2 + V(\vec{r}) \right] \psi(\vec{r}) = E\psi(\vec{r})$$

即为定态薛定谔方程。

令能量算符 \hat{H} 为

$$\hat{H} = -\frac{\hbar^2}{2m} \nabla^2 + V(\vec{r})$$

则定态薛定谔方程为

$$\hat{H}\psi(\vec{r}) = E\psi(\vec{r})$$

其解 $\psi_n(\cdot)$ 为能量算符的本征函数， E_n 为能量算符的本征值。

11. 一维定态问题

a) **一维无限深势阱** 势能函数

$$V(x) = 0 \quad (0 < x < a); \quad V(x) = \infty \quad (o.w.)$$

在势阱外， $\psi(x) = 0$ ，即在 $x \leq 0$ 或 $x \geq a$ 处，粒子出现概率为 0，粒子的位置被束缚在阱内：束缚态。

$0 < x < a$ 时，定态薛定谔方程为

$$\frac{d^2\psi}{dx^2} + \frac{2mE}{\hbar^2} \psi = 0$$

令 $k = \frac{\sqrt{2mE}}{\hbar}$ ，则解方程有 $\psi(x) = A \sin(kx + \delta)$ ，由于波函数连续，故 $\psi(0) = \psi(a) = 0$ ，于是 $\delta = 0$ ，且

$$ka = n\pi \quad (n = 1, 2, \dots)$$

即 $k = \frac{n\pi}{a}$ ，又由于 $k^2 = \frac{2mE}{\hbar^2}$ ，即 $E_n = \frac{\hbar^2 \pi^2 n^2}{2ma^2} \quad (n = 1, 2, 3, \dots)$ 即能量是分立的，且有归一化条件有

$$A = \sqrt{\frac{2}{a}}$$

从而 $\psi(x, t) = \sqrt{\frac{2}{a}} \sin \frac{n\pi}{a} x e^{-\frac{i}{\hbar} E_n t}$ 。由于 $E_1 \neq 0$ ，粒子具有零点能。

b) **势垒贯穿（隧道效应）** 势能函数

$$V(x) = V_0 \quad (0 < x < a); \quad V(x) = 0 \quad (o.w.)$$

能量为 E 的粒子沿 x 轴正方向射向势垒， $0 < E < V_0$ ，从而

$$\left[-\frac{\hbar^2}{2m} \frac{d^2}{dx^2} + V(x) \right] \psi(x) = E\psi(x)$$

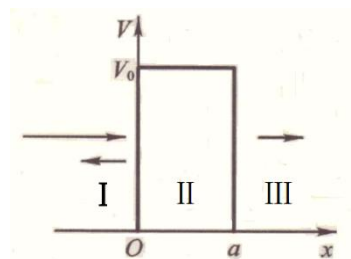
$$\text{I 区域: } -\frac{\hbar^2}{2m} \frac{d^2}{dx^2} \psi_I(x) = E\psi_I(x)$$

$$\text{II 区域: } \left[-\frac{\hbar^2}{2m} \frac{d^2}{dx^2} + V_0 \right] \psi_{II}(x) = E\psi_{II}(x)$$

$$\text{III 区域: } -\frac{\hbar^2}{2m} \frac{d^2}{dx^2} \psi_{III}(x) = E\psi_{III}(x)$$

解方程： $\psi_I(x) = De^{ikx} + Re^{-ikx}$ ， $\psi_{II}(x) = Ae^{k'x} + Be^{-k'x}$ ， $\psi_{III}(x) = Ce^{ikx} + C'e^{-ikx}$ 。

III 区域介质均匀，不存在从右向左传播的波， $C' = 0$ ，根据连续性条件、且一阶导数连续可以得到几个方程，解方程可知：



从左边入射的粒子，当能量 $E < V_0$ 时，可以有一定的概率穿透势垒进入势垒的另一边去，这称为势垒贯穿，也称为隧道效应。

- 粒子从区域 I 经过区域 II 到达区域 III 的穿透概率：

$$T = \frac{|C|^2}{|D|^2}$$

如果粒子能量比势垒高度小很多，同时势垒宽度不太小，有

$$T = \frac{16E(V_0 - E)}{V_0^2} e^{-\frac{2a}{\hbar} \sqrt{2m(V_0 - E)}}$$

势垒宽度 a 出现在指数上，因此穿透概率 T 对于势垒宽度 a 十分敏感，越宽穿透概率越低。

- 应用：扫描隧道显微镜 (STM)。

c) 一维谐振子 势能函数

$$V(x) = \frac{1}{2} m \omega^2 x^2$$

定态薛定谔方程

$$\left[-\frac{\hbar^2}{2m} \frac{d^2}{dx^2} + \frac{1}{2} m \omega^2 x^2 \right] \psi(x) = E \psi(x)$$

能量本征值： $E_n = \left(n + \frac{1}{2}\right) \hbar \omega = \left(n + \frac{1}{2}\right) h \nu$ ($n = 0, 1, 2, \dots$)，能量量子化。

本征函数：

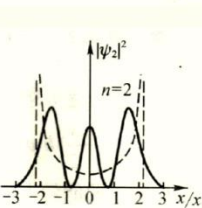
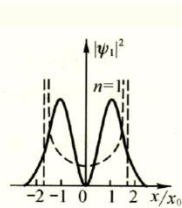
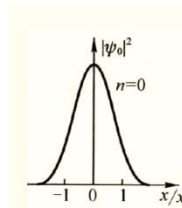
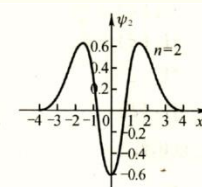
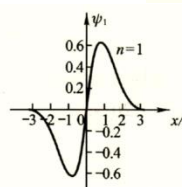
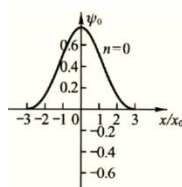
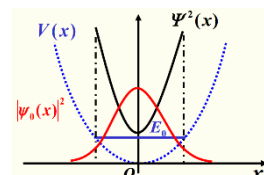
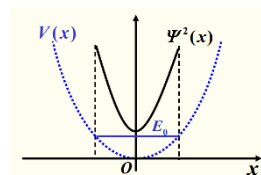
$$\psi_n(x) = \left(\frac{\alpha}{2^n n! \sqrt{\pi}} \right)^{\frac{1}{2}} H_n(\alpha x) e^{-\frac{1}{2} \alpha^2 x^2}, \quad \alpha = \left(\frac{m \omega}{\hbar} \right)^{\frac{1}{2}}$$

其中， $H_n(x) = (-1)^n e^{x^2} \frac{d^n}{dx^n} e^{-x^2}$ 为厄米多项式。

能量本征值之间的差值： $\Delta E = h \nu$ ，说明能量间隔 $h \nu$ ，正是普朗克解释黑体辐射时引入的假设！

- 经典谐振子的概率密度分布：中间最小（由于动能最大，导致时间停留最短，概率密度最小），两边最大（由于动能为 0，停留时间最长，概率密度最大）。
- 量子谐振子的概率密度分布：能量为 E_0 的微观粒子在经典禁区外的概率密度非 0，用经典理论无法解释！

- $n \rightarrow +\infty$ 时候，量子谐振子概率密度分布趋近于经典概率密度分布；
- n 个谐振子的概率密度分布有 $(n+1)$ 个峰；
- n 为奇数的时候， ψ_n 关于原点对称是奇函数，原点概率密度 ψ_n^2 为 0，奇宇称态； n 为偶数的时候， ψ_n 关于 ψ 轴对称是偶函数，原点概率密度 ψ_n^2 为峰，偶宇称态。故谐振子的定态波函数有确定的宇称！



12. 算符的引进

- 能量算符 $\hat{E} = -\frac{\hbar^2}{2m} \nabla^2 + V(\vec{r})$;
 - 动量算符 $\hat{p} = -i\hbar \nabla$;
 - 角动量算符 $\hat{L} = \vec{r} \times (-i\hbar \nabla)$ 。
- d) 算符的本征值为算符对应力学量的一个可能取值，对应的本征函数为波函数，如果属于同一本征值的本征态不止一个（本征函数不止一个），而是 f_n 个，则称这个本征值是 f_n 重简并的。 f_n 称简并度。

13. 氢原子和角动量 氢原子的电子在原子核的库伦电场中运动，势能

$$V(r) = -\frac{e^2}{4\pi\epsilon_0 r}$$

在球坐标系下解定态薛定谔方程，有

$$\psi_{n,l,m_l}(r, \theta, \varphi) = R_{n,l}(r) Y_{l,m_l}(\theta, \varphi)$$

其中, $R_{n,l}(\cdot)$ 为拉盖尔函数, $Y_{l,m_l}(\cdot)$ 为球谐函数。

$n = 1, 2, 3, \dots$ 为主量子数; $l = 0, 1, 2, \dots (n-1)$ 为角量子数; $m_l = 0, \pm 1, \pm 2, \dots \pm l$ 为轨道磁量子数。

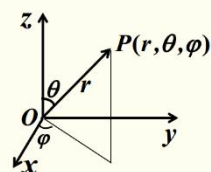
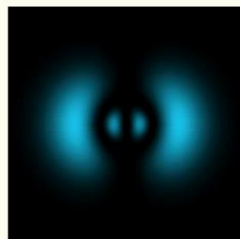
$$Y_{0,0}(\theta, \varphi) = \frac{1}{\sqrt{4\pi}}, \quad Y_{1,0}(\theta, \varphi) = \sqrt{\frac{3}{4\pi}} \cos \theta, \quad Y_{1,1}(\theta, \varphi) = \sqrt{\frac{3}{8\pi}} \sin \theta e^{i\varphi}, \quad Y_{1,-1}(\theta, \varphi) = \sqrt{\frac{3}{8\pi}} \sin \theta e^{-i\varphi}$$

$$R_{1,0}(r) = \left(\frac{1}{a_0}\right)^{\frac{3}{2}} 2e^{-\frac{r}{a_0}}, \quad R_{2,0}(r) = \left(\frac{1}{2a_0}\right)^{\frac{3}{2}} \left(2 - \frac{r}{a_0}\right) e^{-\frac{r}{2a_0}}, \quad R_{2,1}(r) = \left(\frac{1}{2a_0}\right)^{\frac{3}{2}} \frac{r}{a_0 \sqrt{3}} e^{-\frac{r}{2a_0}}$$

这个波函数 $\psi_{n,l,m_l}(r, \theta, \varphi) = R_{n,l}(r)Y_{l,m_l}(\theta, \varphi)$ 是归一化的, 即

$$\int_{\infty} |\psi_{n,l,m_l}(r, \theta, \varphi)|^2 = 1$$

- $|\psi_{n,l,m_l}(r, \theta, \varphi)|^2 dV = |\psi_{n,l,m_l}(r, \theta, \varphi)|^2 r^2 \sin \theta dr d\theta d\varphi$ 为在 (r, θ, φ) 附近体积元内发现量子态为 (n, l, m_l) 电子的概率;
- $|R_{n,l}(r)|^2 r^2 dr$ 为在 $(r, r + dr)$ 壳层发现电子的概率;
- $|Y_{l,m_l}(\theta, \varphi)|^2 \sin \theta d\theta d\varphi$ 为在 (θ, φ) 附近的立体角 $d\Omega = \sin \theta d\theta d\varphi$ 内发现电子的概率。



在各种量子态中, 概率分布和 φ 没有关系, 因此氢原子的电子云是绕 z 轴旋转对称的!

- 氢原子的能量本征值: $E_n = -\frac{me^4}{8\epsilon_0 h^2 n^2}$, 和玻尔理论完全相同!
- 氢原子的轨道角动量: $L = \sqrt{l(l+1)}\hbar$ ($l = 0, 1, \dots (n-1)$), l 为角量子数, 和玻尔的 $L = n\hbar$ 有些差别! 这也解释了玻尔的理论无法解释除氢原子外的其他现象。
- 电子轨道角动量空间取向的量子化: $L_z = m_l \hbar$ ($m_l = 0, \pm 1, \dots, \pm l$), 其中 m_l 为轨道磁量子数。指角动量在空间的一个确定方向上的投影式量子化的。
 - 证实: 塞曼效应。磁场中一条原子光谱分裂为三条谱线 (根据 m_l 取向看是否受到磁场 B 的影响 (整项、反向、不影响, 故有三条谱线))。
- 氢原子能级的简并度: $f_n = \sum_{l=0}^{n-1} (2l+1) = n^2$ 。
- 电子自旋角动量 \vec{S} , $S = \sqrt{s(s+1)}\hbar$, 其中 s 为自旋量子数。在外磁场投影方向 $s = \pm \frac{1}{2}$; 自旋角动量 (内禀角动量) 无经典对应, 纯粹是量子特性。

■ 现象: 反常塞曼效应。弱磁场中光谱分裂为偶数条。

14. 多电子原子

- 主量子数 $n = 1, 2, 3, \dots$;
- 角量子数 $l = 0, 1, 2, \dots, (n-1)$;
- 轨道磁量子数 $m_l = 0, \pm 1, \dots, \pm l$;
- 自旋磁量子数 $m_s = \pm \frac{1}{2}$;

- **泡利不相容原理** 不能存在两个及以上的原子含同样的 (n, l, m_l, m_s) 。
- **能量最小原理** 当原子处于稳定状态时, 每个电子总是尽可能占据最低的能量状态。
- **原子的电子壳层结构** 主量子数相同的属于同一个主壳层 (K, L, M, N, ...), 不同的角量子数 l 构成不同的支壳层 (子壳层) (s, p, d, f, ...)。同一子壳层上可容纳 $2(2l+1)$ 个电子, 同一主壳层上可容纳 $2n^2$ 个电子。当一个原子中每个电子的量子数 n 和 l 被指定后, 则称该原子有确定的 **电子组态**。用并排写出 n 的数值和 l 的字母表示电子。能级排布一般按照 n 从小到大, l 从小到大, 也有特殊情况。